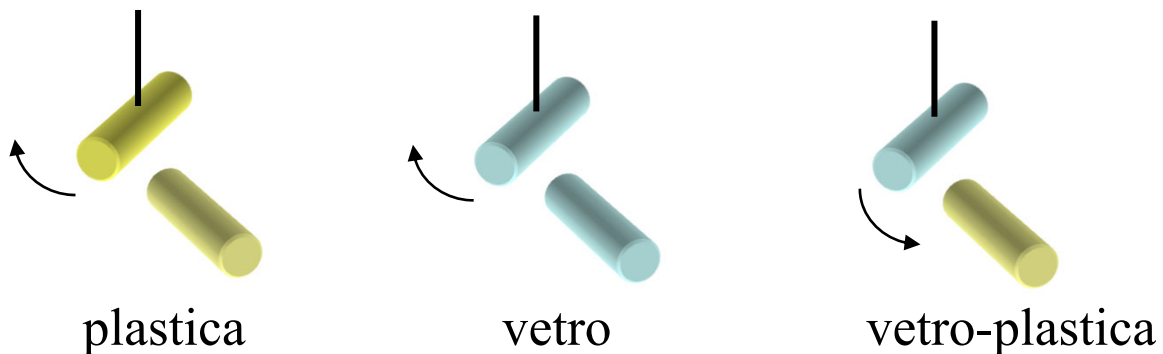


Carica Elettrica

Si osserva un fenomeno di **elettrizzazione** a seguito di strofinio di materiali quali l'ambra (plastica) o il vetro con un panno (o un pezzo di pelliccia).

Materiali come il vetro e materiali come la plastica presentano caratteristiche di elettrizzazione diverse.



L'elettrizzazione è associata all'esistenza di **cariche elettriche**.

Esse sono di due segni: **positivo e negativo** (positivo vetro, negativo plastica).

Cariche dello stesso segno si respingono.

Cariche di segno opposto si attraggono

Cariche dello stesso segno si sommano

Cariche di segno opposto si sottraggono/neutralizzano

Materiali che si caricano per strofinio: **isolanti**

Materiali che si caricano per contatto non per strofinio (non trattengono la carica): **conduttori**

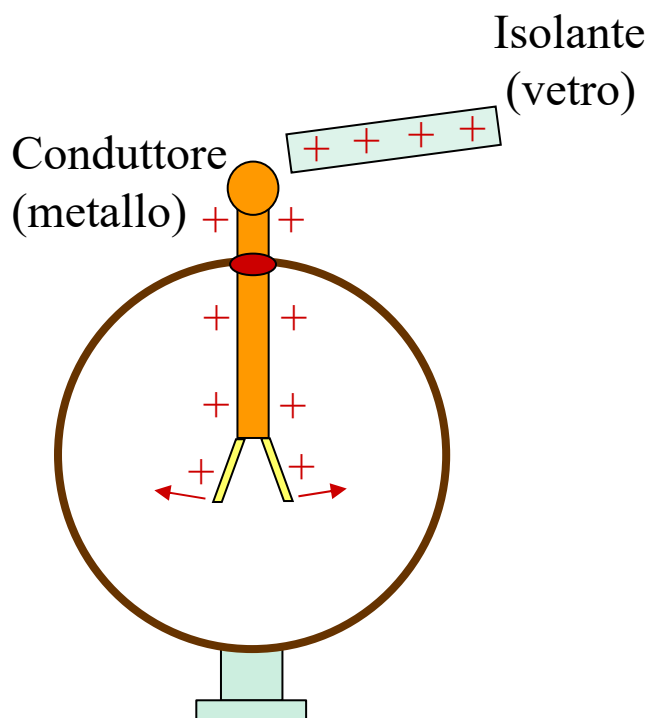
La carica elettrica è una grandezza:

- **Invariante**
- **Quantizzata**, multipla di una carica elementare (elettrone)
- **Estensiva**
- **Derivata**, Unità di misura nel SI: **Coulomb (C)**

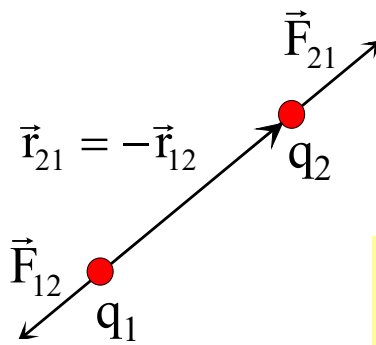
Legge di conservazione della carica: In un sistema isolato, la somma algebrica delle cariche è costante nel tempo

- Creazione di coppie
- Annichilazione e^+e^-

Elettroscopio a foglie



Legge di Coulomb (1785)



$$\mathbf{F}_{21} = k \frac{q_1 q_2}{r_{21}^2} \mathbf{u}_r$$

- Modulo: $F \propto \frac{q_1 q_2}{r^2}$
- Direzione: // \mathbf{u}_r
- Verso: Attrattivo se $q_1 q_2 < 0$
Repulsivo se $q_1 q_2 > 0$

$$\mathbf{F}_{12} = -\mathbf{F}_{21}$$

Sistema MKS:

q: coulomb, F: newton, r: metri

$$k = 1/4 \pi \epsilon_0$$

$$\begin{aligned} \epsilon_0 &= \text{costante dielettrica del vuoto} \\ &= 8.854 \times 10^{-12} \text{ C}^2/(\text{N m}^2) \end{aligned}$$

Validità

- Cariche **puntiformi ferme**
- Nel **vuoto**
- Distanze: $\sim 10^{-15} \text{ m} - 10^3 \text{ m}$

Principio di sovrapposizione degli effetti

La forza agente su una particella sottoposta a più interazioni simultanee è pari alla risultante delle forze dovute a ciascuna interazione

a) q_1 e q_2

$$\mathbf{F}_{21} = k \frac{q_1 q_2}{r_{21}^2} \mathbf{u}_{r21}$$

b) q_2 e q_3

$$\mathbf{F}_{23} = k \frac{q_2 q_3}{r_{23}^2} \mathbf{u}_{r23}$$

c) Sistema di 3 cariche q_1 , q_2 e q_3

Forza su q_2 :

$$\mathbf{F}_2 = \mathbf{F}_{21} + \mathbf{F}_{23}$$

d) Sistema di N cariche - Forza agente su q

Forza su q :

$$\mathbf{F} = \sum_{i=1}^N k \frac{q q_i}{r_i^2} \mathbf{u}_{ri}$$

Campo Elettrico

Legge di Coulomb

Legge di gravitazione

$$F \propto q$$
$$(q \neq 0)$$

$$F \propto m$$
$$(m > 0)$$

\Rightarrow Campo

$$\propto \frac{1}{r^2}$$

$$\propto \frac{1}{r^2}$$

\Rightarrow Th. di Gauss

Forza conservativa

Forza conservativa

\Rightarrow Potenziale (scalare)

Definiamo il **campo elettrostatico E**:

$$\mathbf{E} = \frac{\mathbf{F}_q}{q}$$

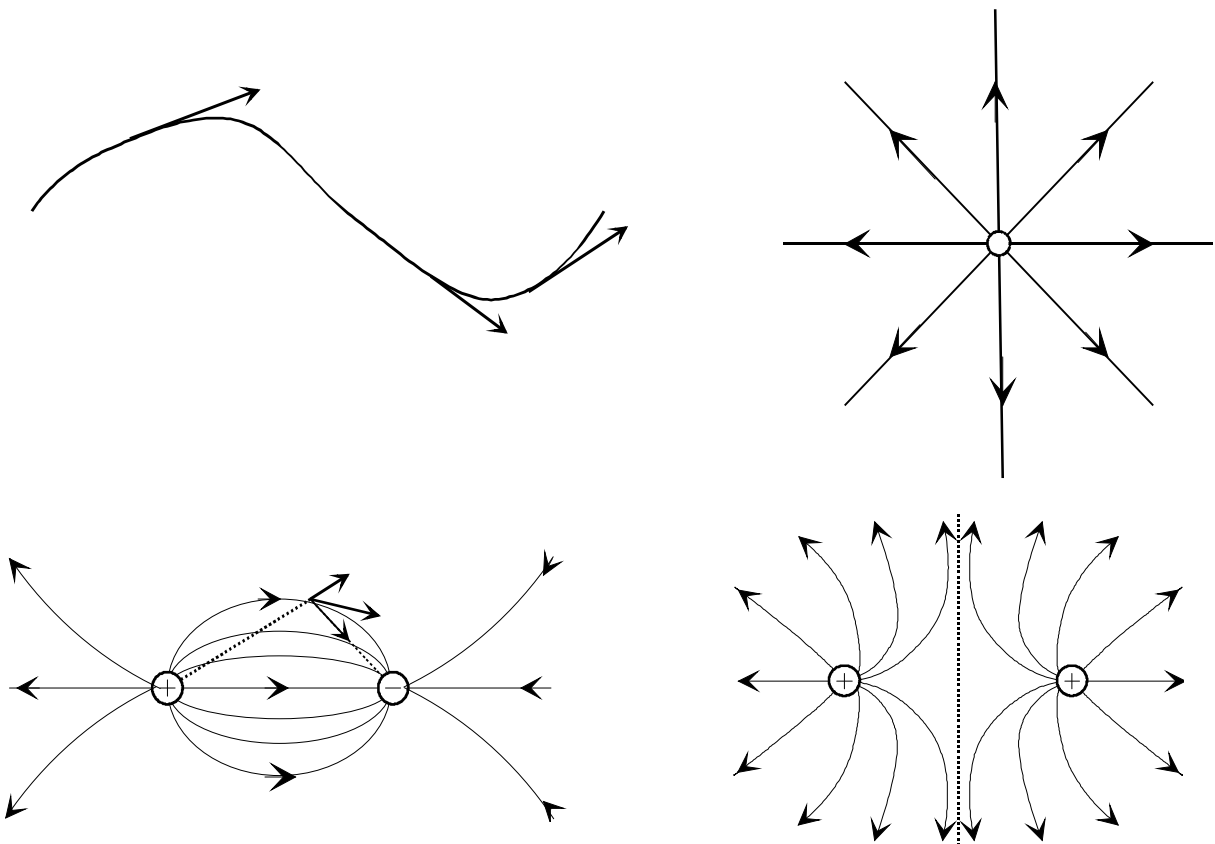
Unità SI: newton/coulomb (N/C)

Definizione operativa di E

La carica sonda **non** deve perturbare la distribuzione di carica che genera il campo

$$\mathbf{E} = \lim_{q \rightarrow 0} \frac{\mathbf{F}}{q}$$

Per effettuare una misura puntuale le dimensioni della carica sonda devono essere trascurabili (punto)



Linee di campo:

- Parallele ed equiverse al campo in ogni punto
- Densità proporzionale al modulo del campo
- Linee aperte (partono da o terminano nelle sorgenti o all'infinito)

Distribuzioni continue di carica

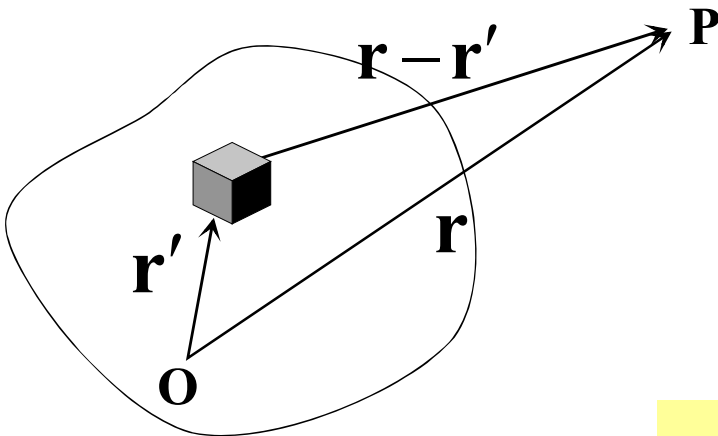
Campo di una carica puntiforme

$$\mathbf{E} = \frac{1}{4\pi\epsilon_0} \frac{q}{r^2} \mathbf{u}_r$$

Densità di carica di volume

$$\rho = \lim_{\Delta\tau \rightarrow 0} \frac{\Delta q}{\Delta\tau} = \frac{dq}{d\tau}$$

Nel S.I.: C m⁻³



$$d\mathbf{E} = \frac{1}{4\pi\epsilon_0} \frac{\rho d\tau}{|\mathbf{r} - \mathbf{r}'|^2} \mathbf{u}_{r-r'}$$

$$\mathbf{E}(P) = \frac{1}{4\pi\epsilon_0} \iiint_{\tau} \frac{\rho}{|\mathbf{r} - \mathbf{r}'|^2} \mathbf{u}_{r-r'} d\tau$$

Densità superficiale

$$\sigma = \frac{dq}{dS} \quad \mathbf{E} = \frac{1}{4\pi\epsilon_0} \iint_S \frac{\sigma}{|\mathbf{r} - \mathbf{r}'|^2} \mathbf{u}_{r-r'} dS$$

Nel S.I.: C m⁻²

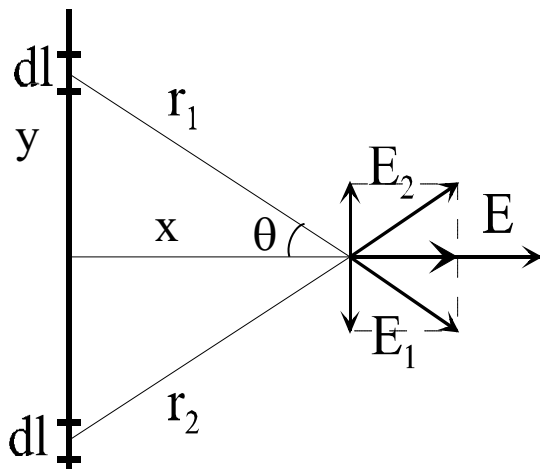
Densità lineare

$$\lambda = \frac{dq}{dl} \quad \mathbf{E} = \frac{1}{4\pi\epsilon_0} \int_l \frac{\lambda}{|\mathbf{r} - \mathbf{r}'|^2} \mathbf{u}_{r-r'} dl$$

Nel S.I.: C m⁻¹

Esempio: Calcolo diretto del campo generato da un filo rettilineo indefinito uniformemente carico con densità λ

Coppie di elementi di carica $dq = \lambda dl$ in posizione simmetrica rispetto all'origine.

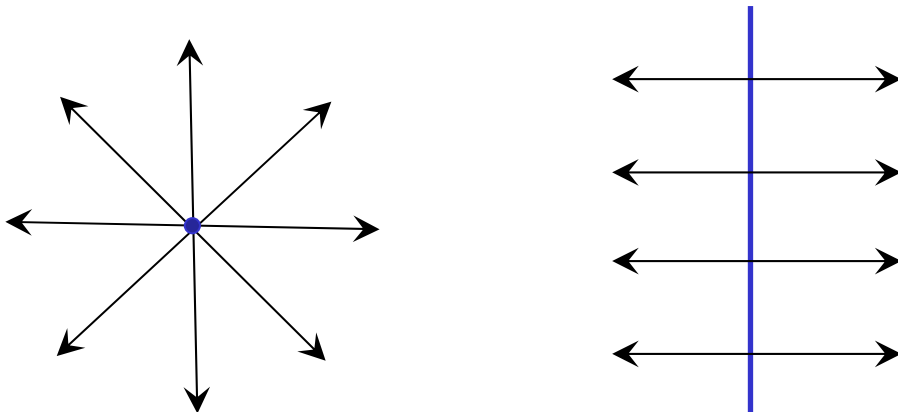


$$r = \frac{x}{\cos \vartheta}$$

$$y = x \operatorname{tg} \vartheta \quad dy = \frac{x d\vartheta}{\cos^2 \vartheta}$$

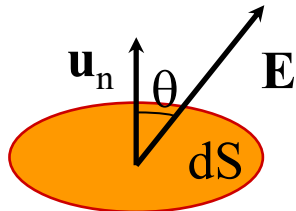
$$E = \int_0^\infty 2 \left(\frac{\lambda dy}{4\pi\epsilon_0 r^2} \right) \cos \vartheta$$

$$E = \frac{\lambda}{2\pi\epsilon_0 x} u_r$$



Flusso di un vettore

Definizione di **flusso**:



$$d\Phi_s(\mathbf{E}) = \mathbf{E} \cdot \mathbf{u}_n dS = E dS \cos \vartheta$$

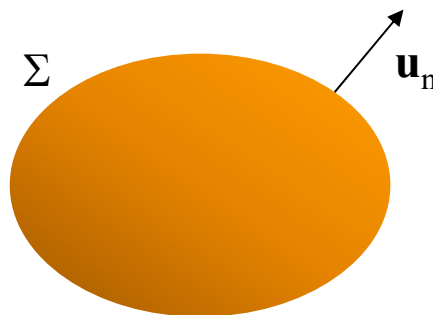
$$\Phi_s(\mathbf{E}) = \iint_S \mathbf{E} \cdot \mathbf{u}_n dS$$

Numero n di linee di campo:

$$n \propto \Phi \propto |\mathbf{E}|S$$

La densità delle linee di campo è proporzionale al flusso e conseguentemente al modulo di \mathbf{E} (a parità di orientazione).

Se la **superficie è chiusa**, per convenzione si sceglie \mathbf{u}_n uscente.



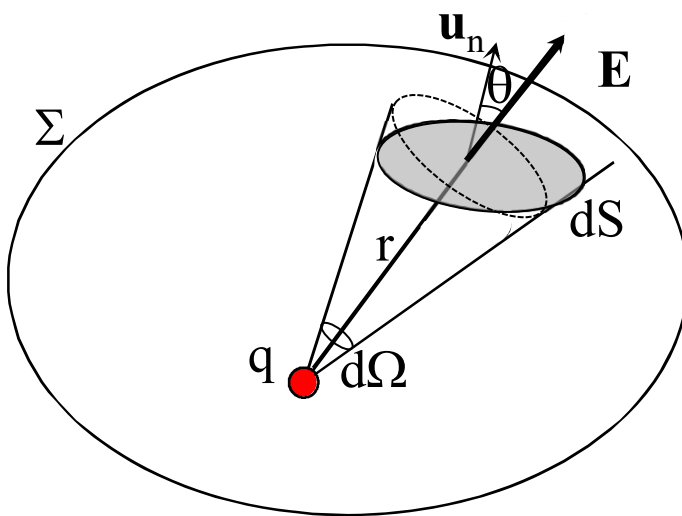
$\Rightarrow \Phi > 0$ se la maggioranza delle linee di campo è uscente da Σ .

Teorema di Gauss

Flusso di \mathbf{E} attraverso una superficie chiusa Σ

$$\Phi_{\Sigma}(\mathbf{E}) = \iint_{\Sigma} \mathbf{E} \cdot \mathbf{u}_n dS$$

Carica **interna** alla superficie chiusa Σ



$$\Phi_{\Sigma}(\mathbf{E}) = \iint_{\Sigma} \mathbf{E} \cdot \mathbf{u}_n dS = \frac{1}{4\pi\epsilon_0} \iint_{\Sigma} \frac{q}{r^2} \mathbf{u}_r \cdot \mathbf{u}_n dS$$

$$\text{dove: } \mathbf{u}_r \cdot \mathbf{u}_n dS = dS \cos \theta = dS_n = r^2 d\Omega$$

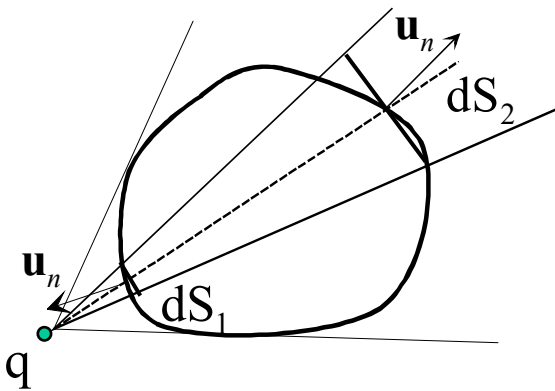
L'integrale di superficie esteso alla superficie Σ diventa un integrale sull'angolo solido Ω

$$\Phi_{\Sigma}(\mathbf{E}) = \frac{q}{4\pi\epsilon_0} \iint_{\Sigma} \frac{1}{r^2} \mathbf{u}_r \cdot \mathbf{u}_n dS = \frac{q}{4\pi\epsilon_0} \int_0^{4\pi} \frac{1}{r^2} r^2 d\Omega = \frac{q}{\epsilon_0}$$

da cui l'espressione generale del **Teorema di Gauss**

$$\iint_{\Sigma} \mathbf{E} \cdot \mathbf{u}_n dS = \frac{q}{\epsilon_0}$$

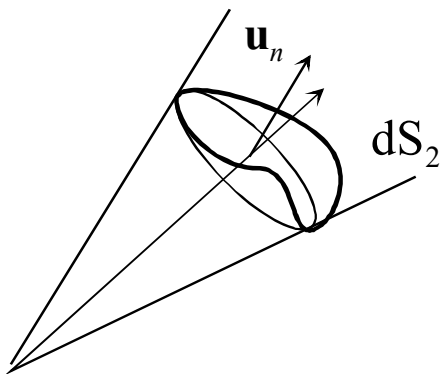
Carica esterna alla superficie:



$$\Phi_{\Sigma}(\mathbf{E}) = \frac{1}{4\pi\epsilon_0} \int \frac{q}{r^2} \mathbf{u}_r \cdot \mathbf{u}_n dS$$

$$dS_1(\mathbf{u}_r \cdot \mathbf{u}_{n1}) = -r_1^2 d\Omega$$

$$dS_2(\mathbf{u}_r \cdot \mathbf{u}_{n2}) = r_2^2 d\Omega$$



Essendo:

$$\Phi_{S_2}(\mathbf{E}) \propto \frac{1}{r_2^2} r_2^2 d\Omega$$

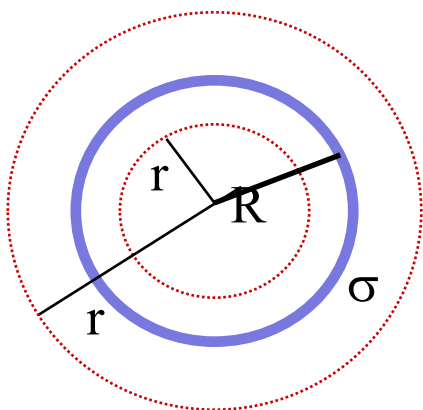
$$\Phi_1 = -\Phi_2 \Rightarrow \Phi_1 + \Phi_2 = 0$$

ne consegue che:

$$\Phi_{\Sigma}(\mathbf{E}) = \iint_{\Sigma} \mathbf{E} \cdot \mathbf{u}_n dS = 0$$

Esempi di applicazione

Distribuzione di carica **uniforme** su una **superficie sferica**



Il campo \mathbf{E} è radiale per simmetria

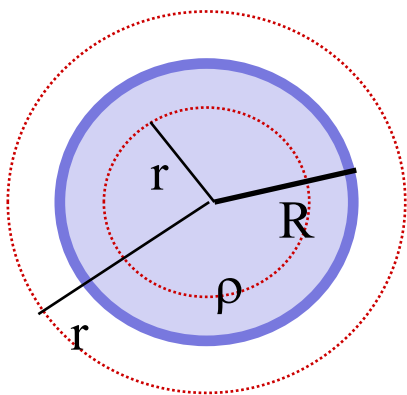
$$r < R: \quad \Phi_{\Sigma}(\mathbf{E}) = 4\pi r^2 E = 0$$

$$\Rightarrow E = 0$$

$$r > R: \quad \Phi_{\Sigma}(\mathbf{E}) = 4\pi r^2 E = \frac{\sigma 4\pi R^2}{\epsilon_0} = \frac{Q}{\epsilon_0}$$

$$\Rightarrow E = \frac{Q}{4\pi\epsilon_0 r^2}$$

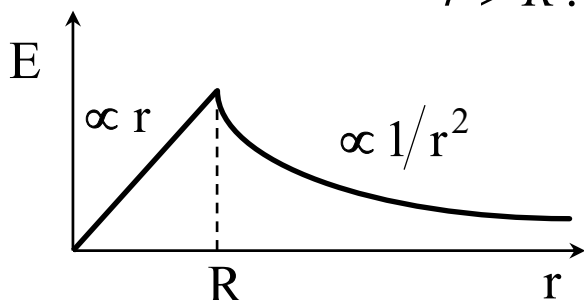
Distribuzione di carica **uniforme** in un **volume sferico**



$$r < R: \quad \Phi_{\Sigma}(\mathbf{E}) = 4\pi r^2 E = \frac{\rho \frac{4}{3}\pi r^3}{\epsilon_0}$$

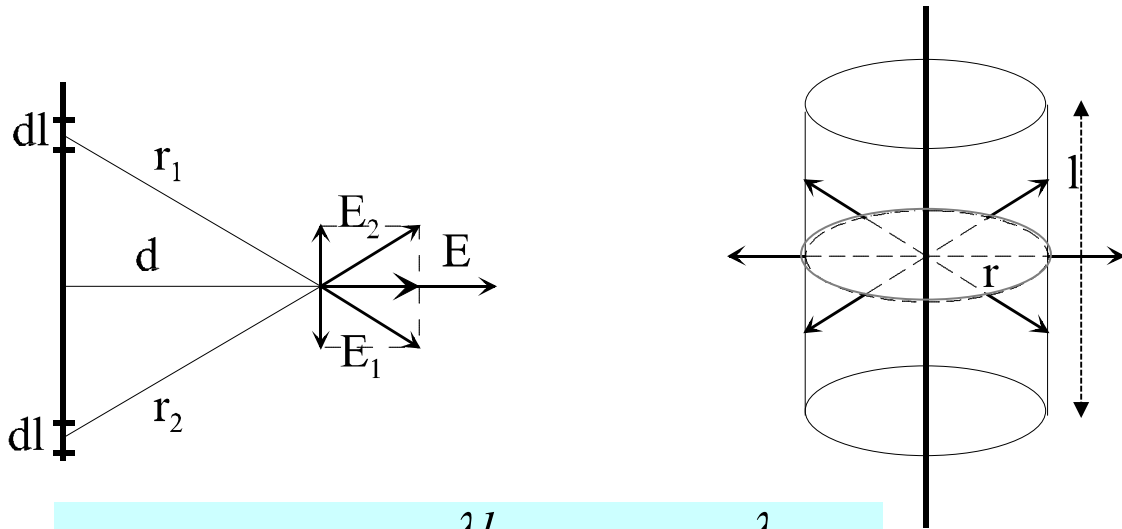
$$\Rightarrow E = \frac{\rho}{3\epsilon_0} r$$

$$r > R: \quad \Phi_{\Sigma}(\mathbf{E}) = 4\pi r^2 E = \frac{\rho \frac{4}{3}\pi R^3}{\epsilon_0} = \frac{Q}{\epsilon_0}$$



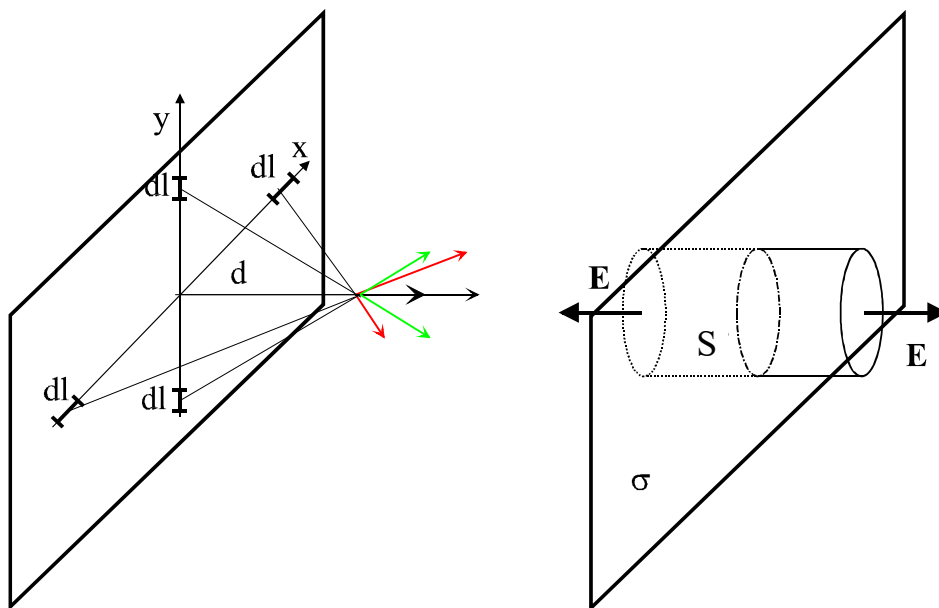
$$\Rightarrow E = \frac{Q}{4\pi\epsilon_0 r^2}$$

Filo rettilineo indefinito con densità di carica **uniforme** λ



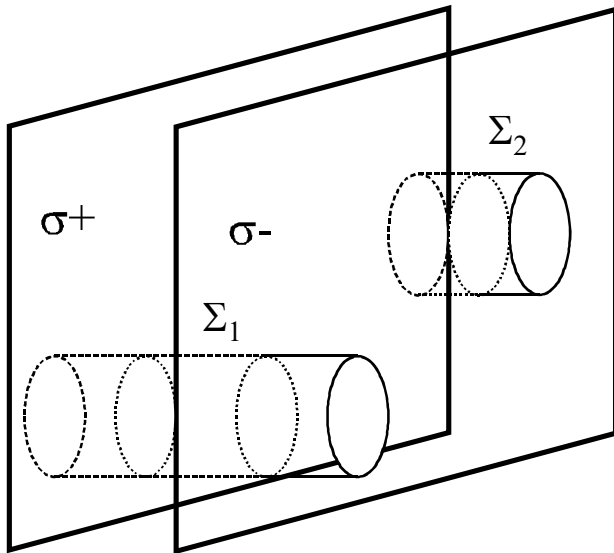
$$\Phi_{\Sigma}(\mathbf{E}) = 2\pi r l E = \frac{\lambda l}{\epsilon_0} \Rightarrow \mathbf{E} = \frac{\lambda}{2\pi\epsilon_0 r} \mathbf{u}_r$$

Piano indefinito con densità di carica **uniforme** σ



$$\Phi_{\Sigma}(\mathbf{E}) = 2S E = \frac{\sigma S}{\epsilon_0} \Rightarrow \mathbf{E} = \frac{\sigma}{2\epsilon_0} \mathbf{u}_n$$

Due piani indefiniti con densità di carica di superficie
positiva σ^+ e negativa σ^-

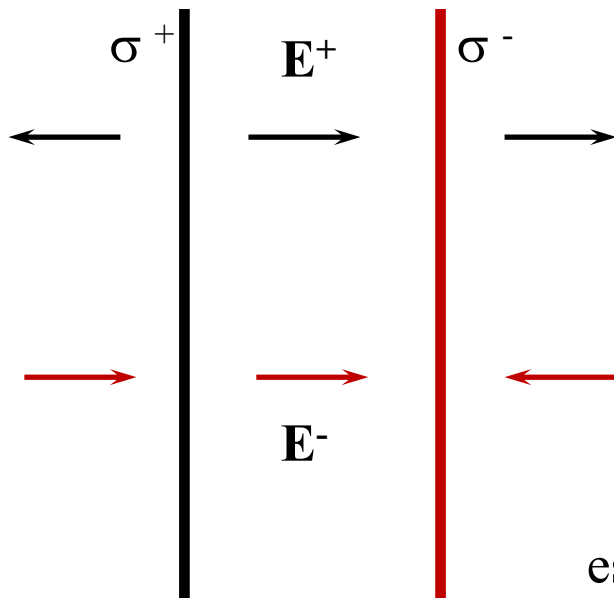


$$\Phi_{\Sigma_1} = E \cdot 2S = \frac{(\sigma^+ + \sigma^-)S}{\epsilon_0} = 0$$

$$E_{\text{est}} = 0$$

$$\Phi_{\Sigma_2} = E_{\text{int}} \cdot S = \frac{\sigma S}{\epsilon_0}$$

$$E_{\text{int}} = \frac{\sigma}{\epsilon_0}$$

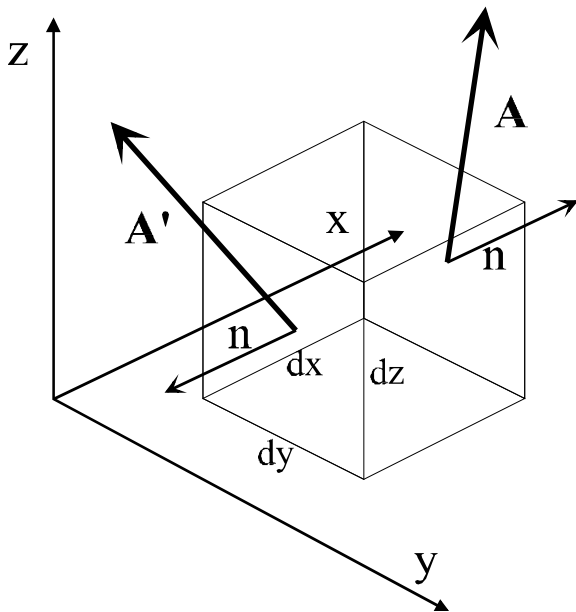


Sovrapposizione degli effetti

$$\text{est: } E^+ + E^- = 0$$

$$\text{int: } E^+ + E^- = \frac{\sigma}{2\epsilon_0} + \frac{\sigma}{2\epsilon_0} = \frac{\sigma}{\epsilon_0}$$

Teorema della divergenza



Dato un vettore \mathbf{A} , la **divergenza** di \mathbf{A} in coordinate cartesiane è:

$$\text{div } \mathbf{A} = \frac{\partial A_x}{\partial x} + \frac{\partial A_y}{\partial y} + \frac{\partial A_z}{\partial z}$$

Vogliamo dimostrare che: $\iint_{\Sigma} \mathbf{A} \cdot \mathbf{u}_n dS = \iiint_{\tau} \text{div } \mathbf{A} d\tau$

Consideriamo un volumetto infinitesimo $dV = dx dy dz$

$$d\Phi_1 = \mathbf{A} \cdot \mathbf{u}_n dS \quad d\Phi_2 = -\mathbf{A} \cdot \mathbf{u}_n dS = -\left(A_x - \frac{\partial A_x}{\partial x} dx\right)$$

$$d\Phi_1 + d\Phi_2 = \frac{\partial A_x}{\partial x} dx dS = \frac{\partial A_x}{\partial x} dx dy dz = \frac{\partial A_x}{\partial x} dV$$

per l'intera superficie del cubo

$$d\Phi = \left(\frac{\partial A_x}{\partial x} + \frac{\partial A_y}{\partial y} + \frac{\partial A_z}{\partial z} \right) dV = \text{div } \mathbf{A} dV$$

Dal Teorema di Gauss:

$$\Phi_{\Sigma}(\mathbf{E}) = \iint_{\Sigma} \mathbf{E} \cdot \mathbf{u}_n dS = \iiint_{\tau} \operatorname{div} \mathbf{E} d\tau = \frac{Q}{\varepsilon_0} = \iiint_{\tau} \frac{\rho}{\varepsilon_0} d\tau$$

da cui:

$$\operatorname{div} \mathbf{E} = \frac{\rho}{\varepsilon_0}$$

I Equazione di Maxwell

$$\frac{\partial E_x}{\partial x} + \frac{\partial E_y}{\partial y} + \frac{\partial E_z}{\partial z} = \frac{\rho}{\varepsilon_0} \quad \text{in coord. cartesiane}$$

Equazione fondamentale dell'elettrostatica

Implicitamente esprime:

- Teorema di Gauss
- Legge di Coulomb

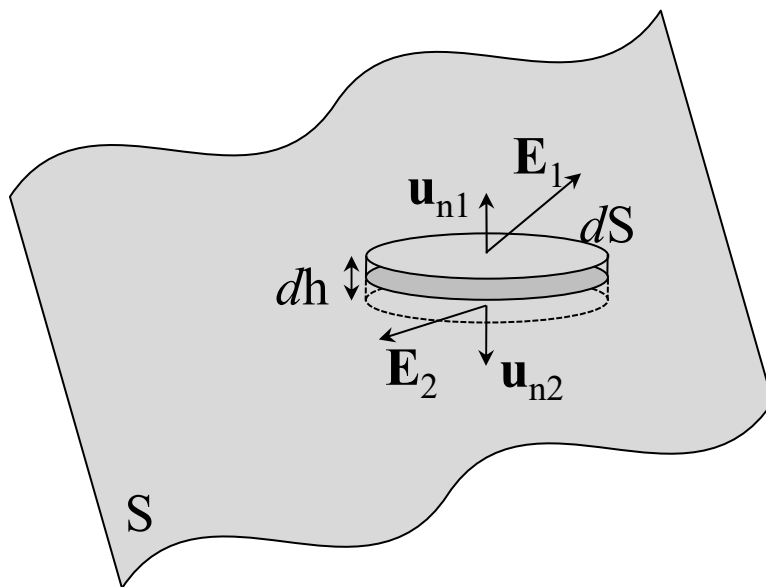
Vale per:

- Distribuzioni di carica di volume
- Anche per cariche in moto

Condizioni al contorno per \mathbf{E} : Componente normale

Distribuzione superficiale di carica di densità σ .

Applichiamo il Th. di Gauss ad una superficie $d\Sigma$ cilindrica infinitesima ($dh \ll \sqrt{dS}$) posta a cavallo della distribuzione di carica.



$$\mathbf{E}_1 \cdot \mathbf{u}_{n1} dS + \mathbf{E}_2 \cdot \mathbf{u}_{n2} dS + \dots = \frac{\sigma dS}{\epsilon_0}$$

$$\Rightarrow [E_n] = \frac{\sigma}{\epsilon_0}$$